

# Robust and Optimal Control, Spring 2015

Instructor: Prof. Masayuki Fujita (S5-303B)

## R: Flexible Beam: Mixed Sensitivity

### Reference:

M. Fujita, F. Matsumura and M. Shimizu,  
 *$H_\infty$  Robust Control Design for a Magnetic Suspension System*,  
2nd International Symposium on Magnetic Bearing, 349-356,  
July 12-14, 1990, Tokyo, Japan.

---

# 柔軟ビーム磁気浮上システム

---

## Real Physical System

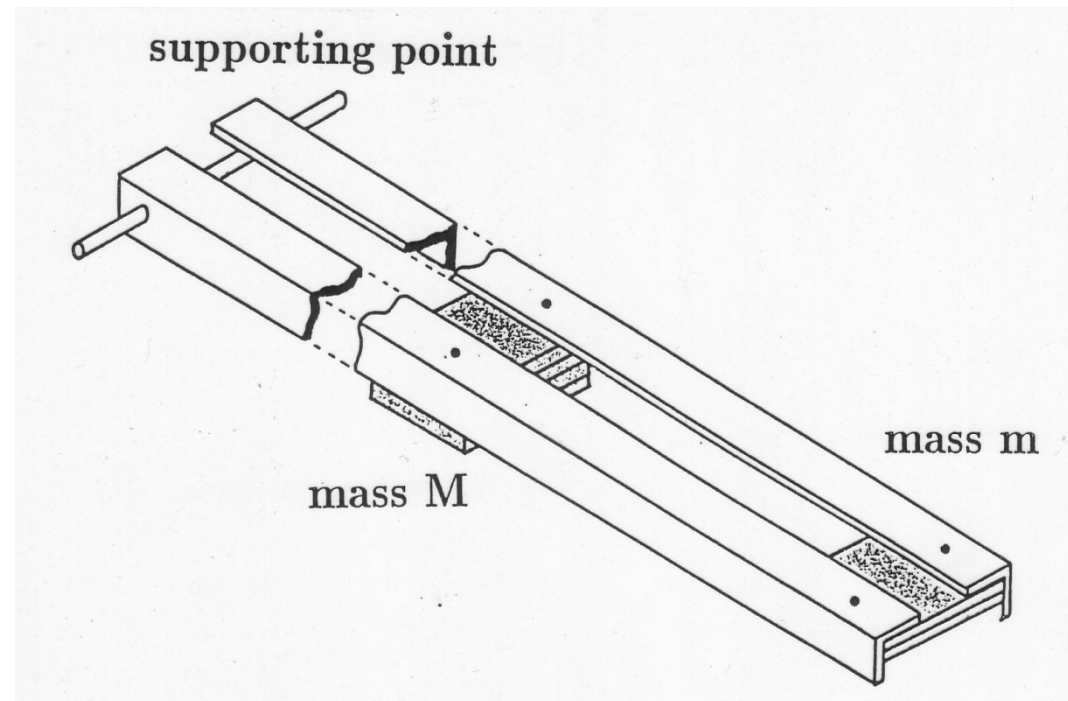


図2 柔軟ビーム

# Ideal Physical Model

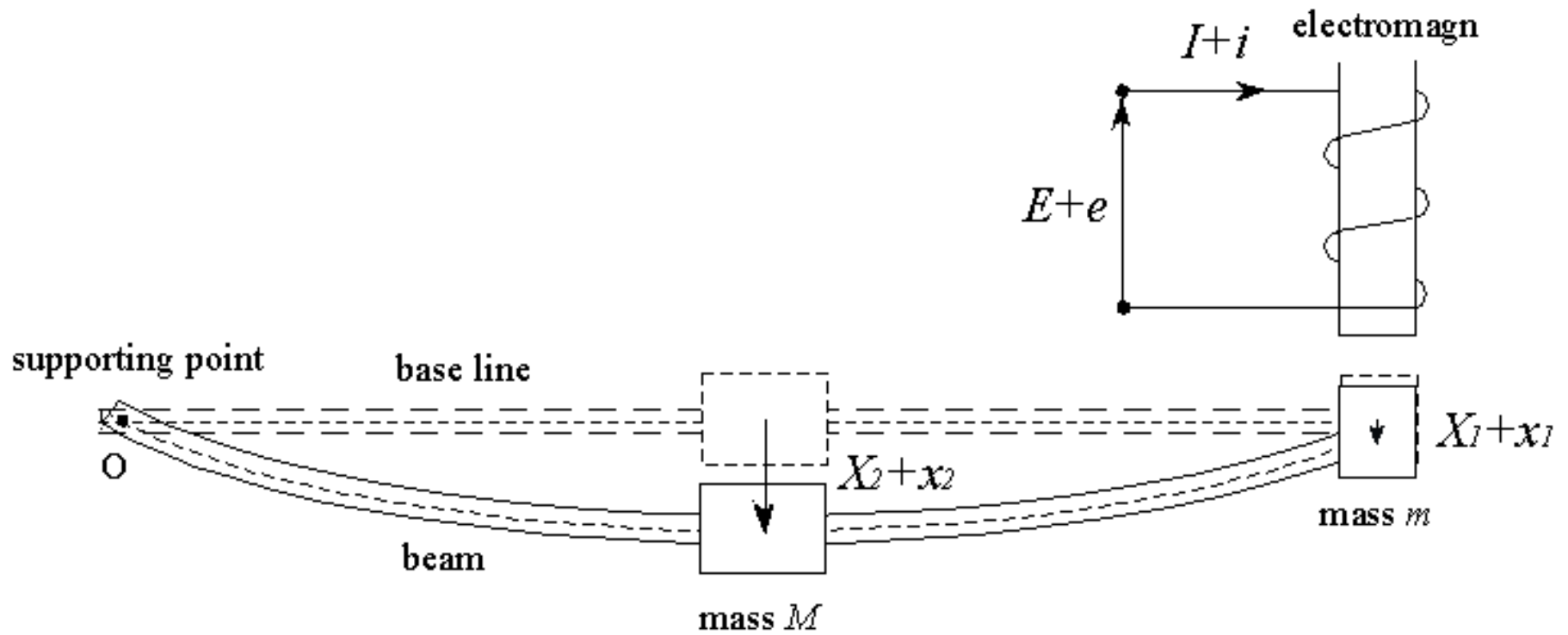


図3 柔軟ビーム磁気浮上系

## モデリングのための仮定

1. 磁気飽和, ヒステリシスがない.
2. うず電流は無視できる.
3. もれ磁束がない.
4. 鉄心の透磁率は無限大である.
5. 2 質量  $m, M$  からなる集中定数系として近似する.
6. インダクタンスは一定, 速度起電力の項は無視.

# パラメータ

## MATLAB program

```
m = 5.8 ;  
M = 10.36 ;  
X1 = 5e-3 ;  
X2 = 12.3e-3 ;  
R = 57 ;  
L = 3.16 ;  
I = 0.885 ;  
gg = 9.8
```

パラメータ	記号	値	単位
ビームの長さ	$2l$	3.8	m
質量	$m$	5.8	kg
質量	$M$	10.36	kg
定常ギャップ	$X_1$	5.0	mm
ビームのたわみ	$X_2$	12.3	mm
固有振動数	$f_n$	4.5	Hz
電磁石抵抗	$R$	57	$\Omega$
電磁石インダクタンス	$L$	3.16	H
定常電流	$I$	0.885	A
重力加速度	$g$	9.8	$m/s^2$

# $H_\infty$ 制御系設計 (混合感度)

## Ideal Mathematical Model

柔軟ビーム

$$m \frac{d^2 x_1}{dt^2} = mg - f_{mag} + f_{beam}$$

$$M \frac{d^2 x_2}{dt^2} = Mg - 2f_{beam}$$

$$f_{mag} = k \left( \frac{I + i}{X_1 + x_1} \right)^2, \quad f_{beam} = \alpha (2(X_2 + x_2) - x_1) + \beta \frac{d}{dt} (2(X_2 + x_2) - x_1)$$

電磁石

$$L \frac{di}{dt} + Ri = e$$

$$k = 0.0034 \quad [\text{Nm}^2 / \text{A}^2]$$

$$\alpha = 2064 \quad [\text{N/m}]$$

$$\beta = 0.327 \quad [\text{Ns/m}]$$

MATLAB program

```
k = 0.0034;
alpha = 2064;
beta = 0.327
```

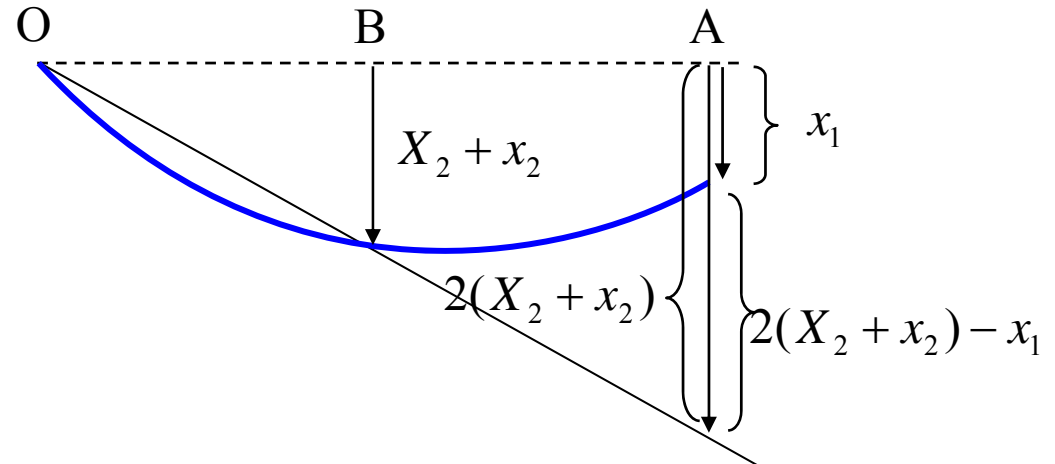


図4 数式モデル

# Reduced Mathematical Model

線形化

$$m \frac{d^2 x_1}{dt^2} = \left( \frac{M + 2m}{X_1} g - \alpha \right) x_1 + 2\alpha x_2 - \frac{(M + 2m)g}{I} i - \beta \frac{dx_1}{dt} + 2\beta \frac{dx_2}{dt}$$

$$M \frac{d^2 x_2}{dt^2} = 2\alpha x_1 - 4\alpha x_2 + 2\beta \frac{dx_1}{dt} - 4\beta \frac{dx_2}{dt}$$

出力

$$y_p = x_1$$

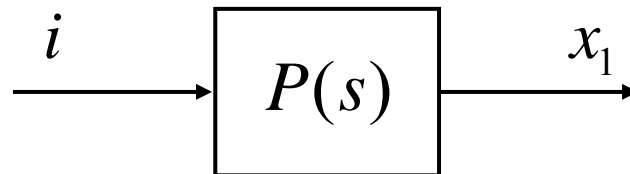


図5 柔軟ビーム磁気浮上系

# 状態空間表現

$$\begin{cases} \dot{x}_p = A_p x_p + B_p u \\ y = C_p x_p \end{cases}$$

$$x_p := [x_1 \quad x_2 \quad \dot{x}_1 \quad \dot{x}_2 \quad i]^T \quad u := e$$

$$A_p = \begin{bmatrix} 0 & 0 & 1 & 0 & 0 \\ 0 & 0 & 0 & 1 & 0 \\ a & b & -\beta/m & 2\beta/m & c \\ d & f & 2\beta/M & -4\beta/M & 0 \\ 0 & 0 & 0 & 0 & h \end{bmatrix} \quad B_p = \begin{bmatrix} 0 \\ 0 \\ 0 \\ 0 \\ j \end{bmatrix} \quad C_p = [1 \quad 0 \quad 0 \quad 0 \quad 0]$$

$$a := \frac{1}{m} \left( \frac{M+2m}{X_1} g - \alpha \right), \quad b := \frac{2\alpha}{m}, \quad c := -\frac{M+2m}{mL} g,$$

$$d := \frac{2\alpha}{M}, \quad f := -\frac{4\alpha}{M}, \quad h := -\frac{R}{L}, \quad j := \frac{1}{L}$$

\* ○ は修正箇所



## MATLAB program

$$Ma = ( ( ( M+2*m )/X1 ) * gg - alpha ) / m ;$$

$$Mb = 2*alpha / m ;$$

$$Mc = - ( ( M+2*m ) / ( m*I ) ) * gg ;$$

$$Md = 2*alpha / M ;$$

$$Mf = -4*alpha / M ;$$

$$Mh = -R / L ;$$

$$Mj = 1 / L ;$$

$$Ap = \begin{bmatrix} 0 & 0 & 1 & 0 & 0 \\ 0 & 0 & 0 & 1 & 0 \\ Ma & Mb & -beta & 2*beta & Mc \\ Md & Mf & 2*beta & -4*beta & 0 \\ 0 & 0 & 0 & 0 & Mh \end{bmatrix}$$

$$Bp = [ 0; 0; 0; 0; Mj ]$$

$$Cp = [ 1 \ 0 \ 0 \ 0 \ 0 ]$$

$$Dp = 0$$

## 可制御性, 可観測性

$$CO = \begin{bmatrix} B_p & A_p B_p & A_p^2 B_p & A_p^3 B_p & A_p^4 B_p \end{bmatrix}$$
$$OB = \begin{bmatrix} C_p & C_p A_p & C_p A_p^2 & C_p A_p^3 & C_p A_p^4 \end{bmatrix}'$$

$$\text{rank}(CO) = 5$$

$$\text{rank}(OB) = 5$$

制御対象は, 可制御, 可観測である

### MATLAB program

```
CO = ctrb(Ap,Bp);  
CO_rank = rank(CO)  
OB = obsv(Ap,Cp);  
OB_rank = rank(OB)
```



## MATLAB program

```
omega1=logspace(-3,3,150);  
bode ( P_ss, omega1 );  
Pzmap (P_ss)
```

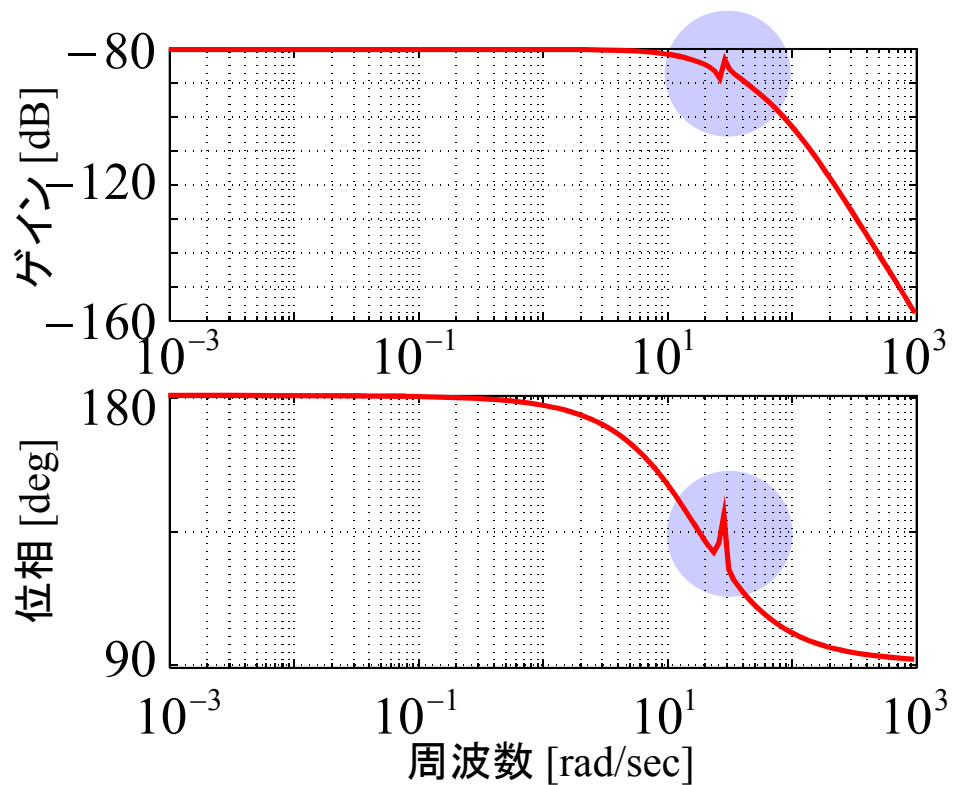


図6 プラント  $P(s)$

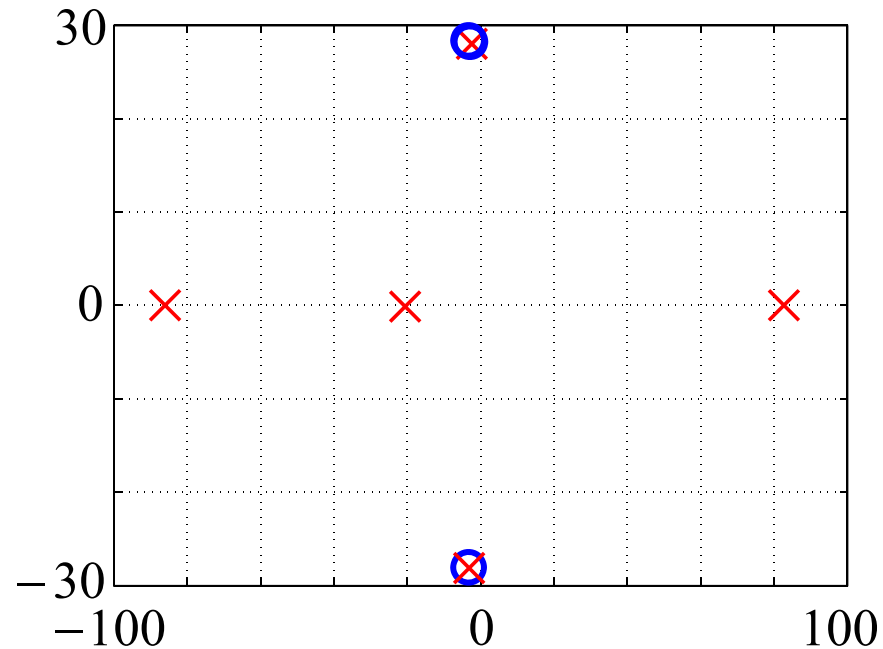


図7 プラント  $P(s)$  の極・零点 12

# 混合感度問題

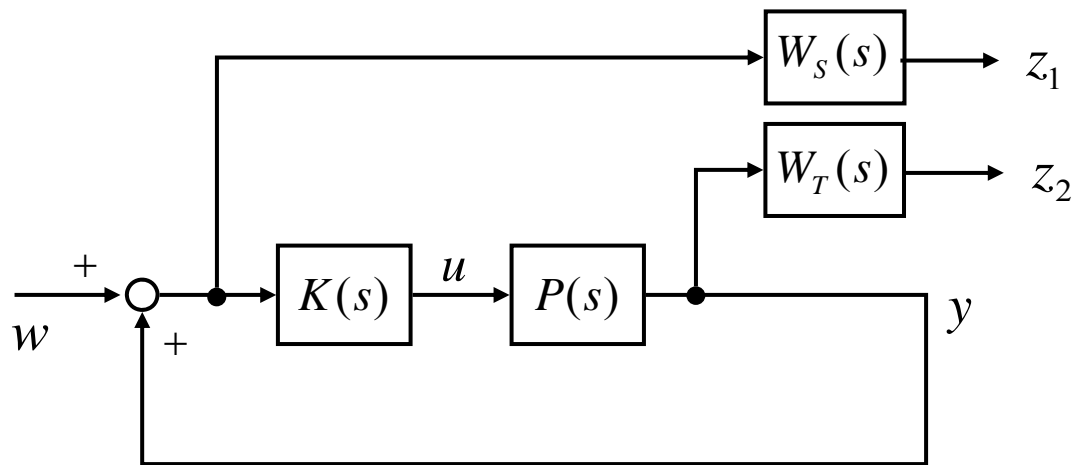


図9 ブロック線図

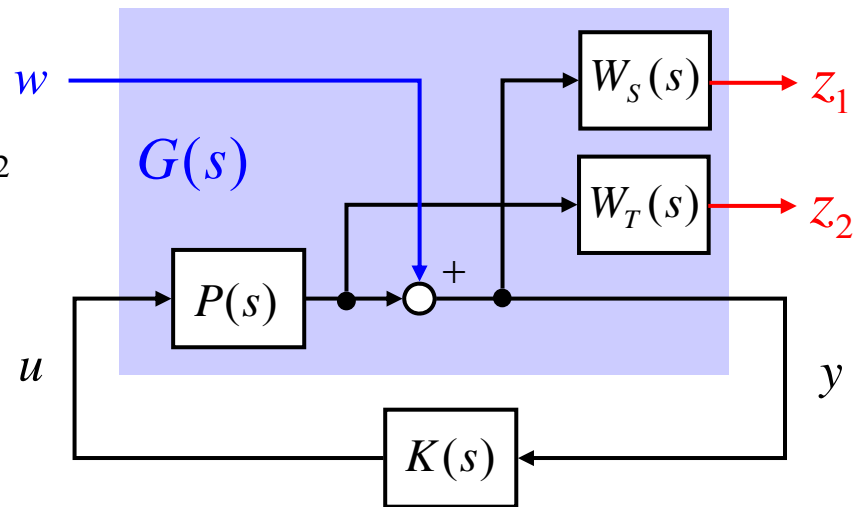


図10 一般化プラント

$$\left\| \begin{array}{l} W_S(s)S(s) \\ W_T(s)T(s) \end{array} \right\|_{\infty} < 1$$

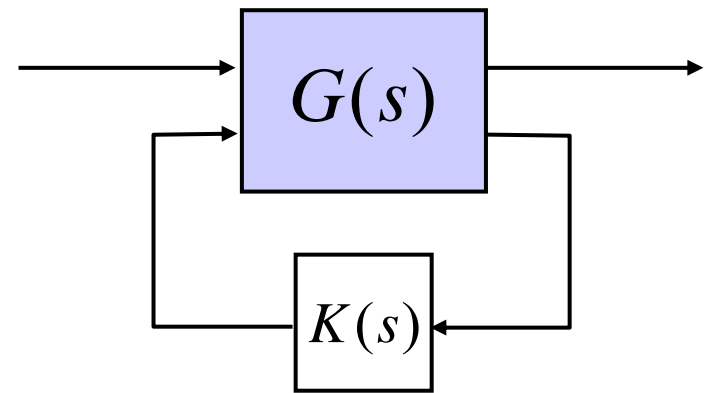


図11 一般化プラント

# 周波数重み $W_S(s)$

$$W_S(s) = \gamma_s \hat{W}_S(s), \quad \hat{W}_S(s) = \frac{k_s}{1 + \frac{s}{2\pi f_s}}$$

$$f_s = 0.016, \quad k_s = 1.3298, \quad \gamma_s = 17.2$$

## MATLAB program

```

fs = 0.016 ;
ks = 1.3298 ;
gamma_s = 17.2 ;
Ws_num = ks ;
Ws_den = [ 1/(2*pi*fs) 1 ] ;
Ws_tf = tf(gamma_s * Ws_num, Ws_den) ;
bodemag(Ws_tf,omega1);
    
```

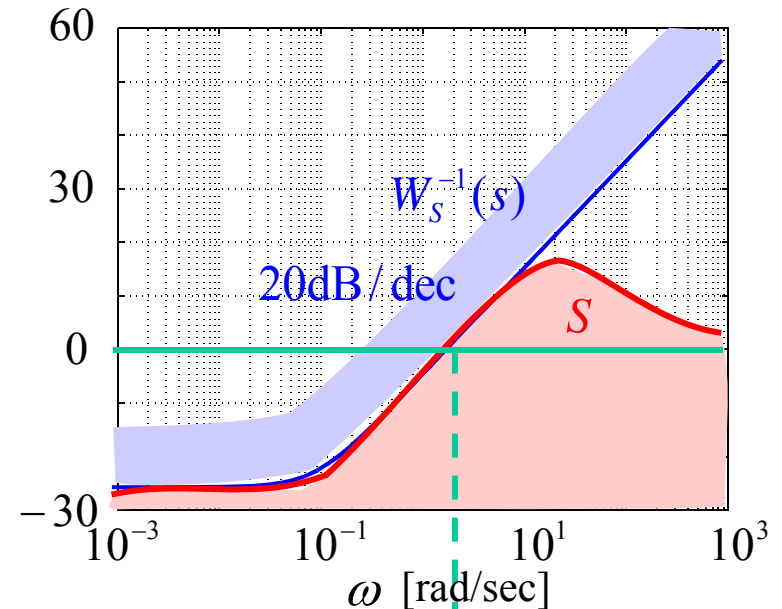


図12 周波数特性  $W_S^{-1}(s)$

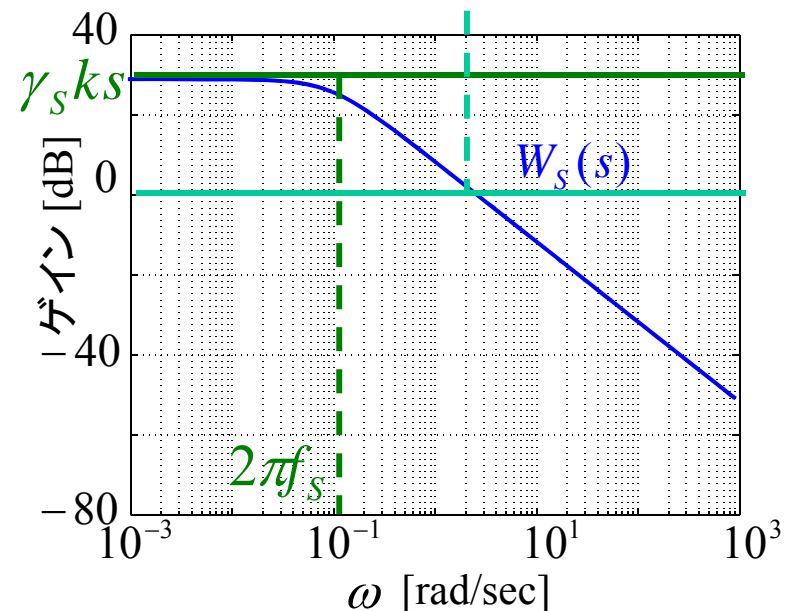


図13 周波数重み  $W_S(s)$

## 周波数重み $W_T(s)$

$$W_T(s) = k_T \left( 1 + \frac{s}{2\pi f_{T1}} \right) \left( 1 + \frac{s}{2\pi f_{T2}} \right) \left( 1 + \frac{s}{2\pi f_{T3}} \right)$$

$$f_{T1} = 0.002, f_{T2} = 160, f_{T3} = 200, k_T = 10^{-4}$$

### MATLAB program

```
ft1 = 0.002 ; ft2 = 160 ; ft3 = 200 ; kt = 1e-4;
Wt1_num = [1 2*pi*ft1]; Wt1_den = [2*pi*ft1];
Wt1 = tf(Wt1_num, Wt1_den);
Wt2_num = [1 2*pi*ft2]; Wt2_den = [2*pi*ft2];
Wt2 = tf(Wt2_num, Wt2_den);
Wt3_num = [1 2*pi*ft3]; Wt3_den = [2*pi*ft3];
Wt3 = tf(Wt3_num, Wt3_den);
Wt = Wt1*Wt2*Wt3*kt;
bodemag(Wt,1,omega1);
```

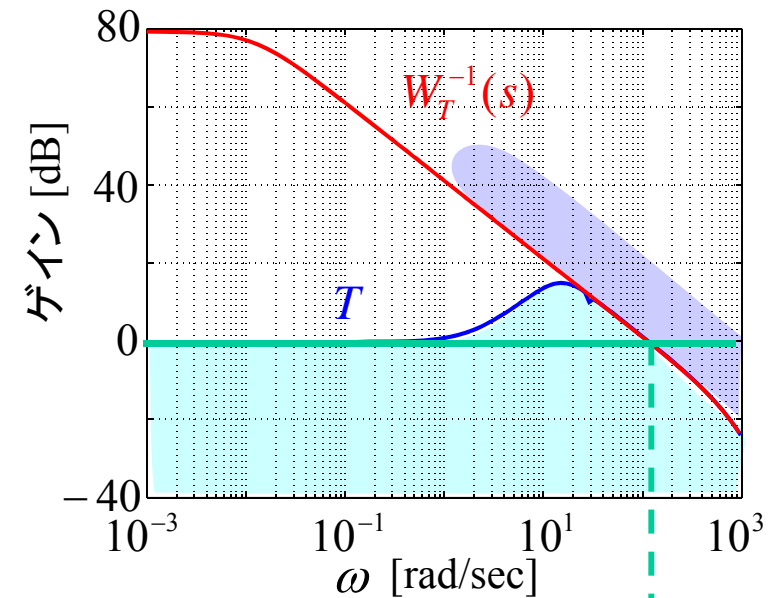


図14 周波数特性  $W_T^{-1}(s)$

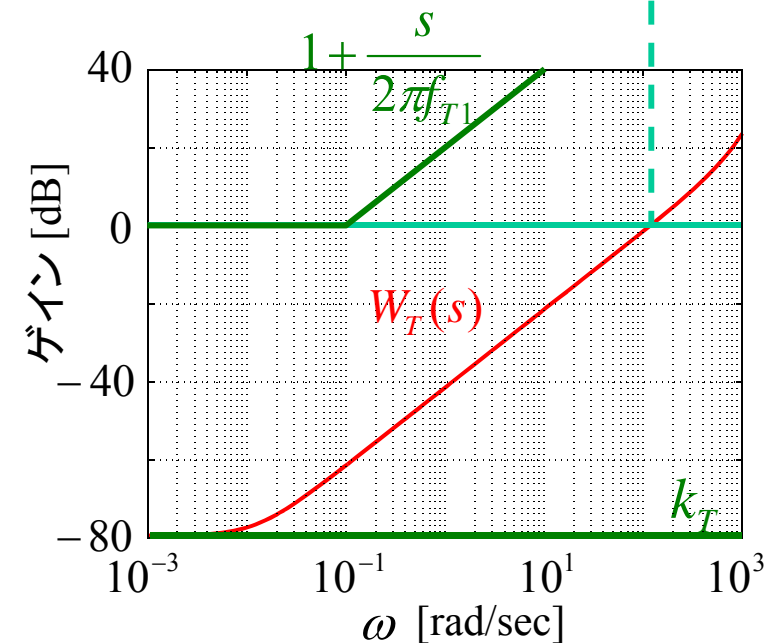


図15 周波数重み  $W_T(s)$  15

# 一般化プラント

## MATLAB program

```

systemnames = 'Ws_tf PWt_ss';
inputvar = '[ dist; control ]';
outputvar = '[ Ws; PWt_ss(1); PWt_ss(2) + dist ]';
input_to_Ws_tf = '[ PWt_ss(2) + dist ]';
input_to_PWt_ss = '[ control ]';
sysoutname = 'G';
cleanupysic = 'yes';
sysic;
    
```

\*  $PW_T(s)$  の構成方法は付録参照

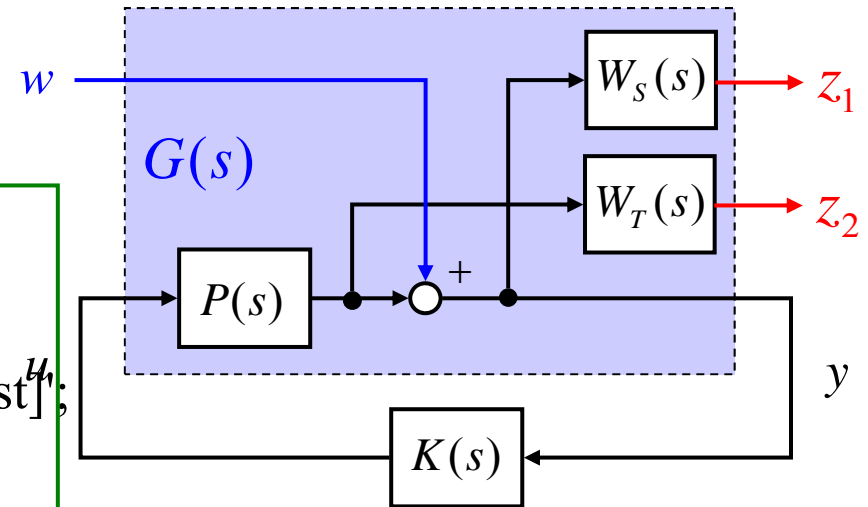


図10 一般化プラント

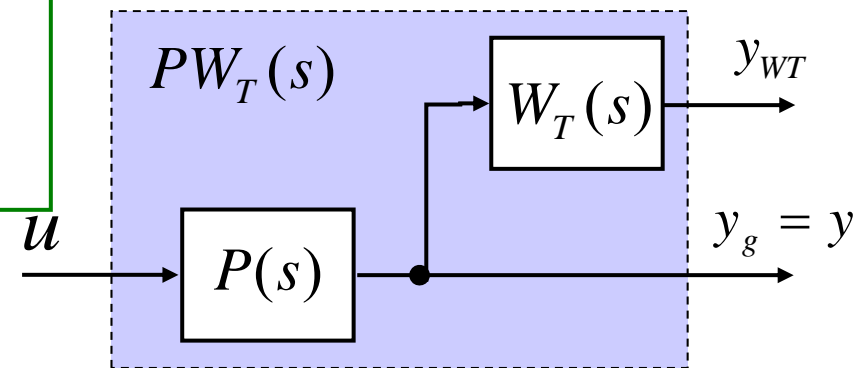


図16 周波数重み  $W_T(s)$  の合併



# コントローラ $K(s)$

$$K(s) = \frac{-5.12 \times 10^{10} (s + 1.972)(s + 18.0)(s + 84.4)(s + 0.699 \pm j28.9)}{(s + 0.10)(s + 4232)(s + 1176 \pm j400)(s + 0.655 \pm j28.2)}$$

極

- 0.10
- 4232
- 1176 ± j400
- 0.655 ± j2.82

安定

零点

- 1.972
- 18.0
- 84.4
- 0.699 ± j28.9

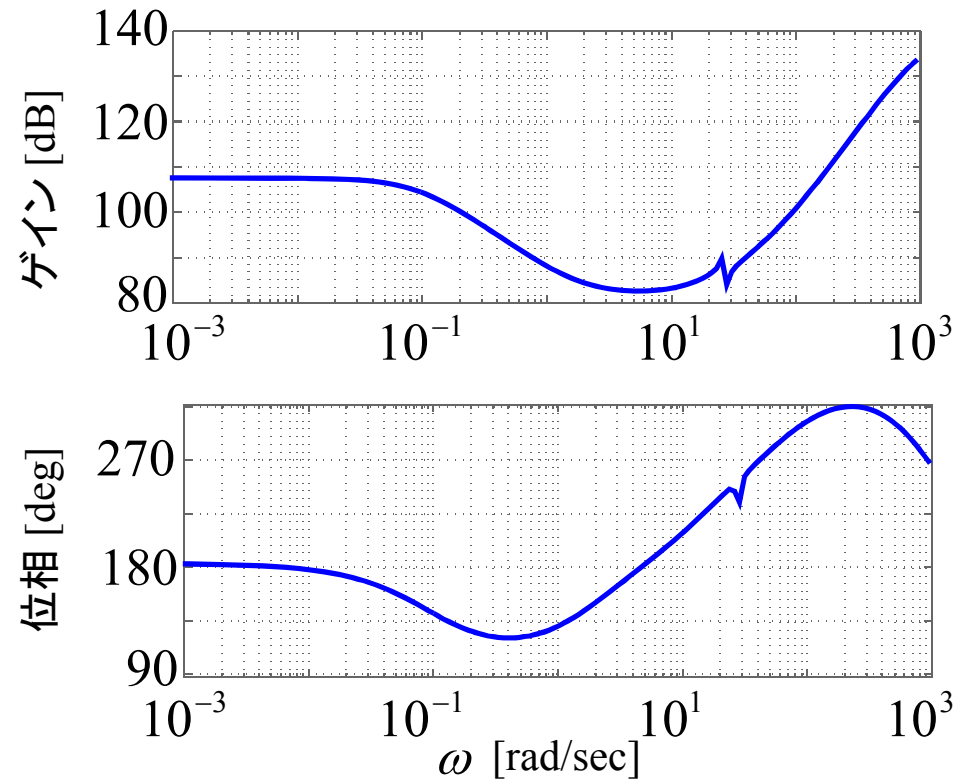


図17 コントローラ  $K(s)$

## MATLAB program

```
[ K_mix_ss, Cloop,gam ]  
= hinfyn ( G, 1, 1, 'gmax', 1, 'gmin',1, 'tolgam', 0.001 ) ;  
[K_A,K_B,K_C,K_D] = ssdata(K_mix_ss);  
[ K_num, K_den ] = ss2tf ( K_A, K_B, K_C, K_D ) ;  
K_tf = tf ( K_num, K_den ) ;  
zpk(K_tf)  
minfo(K_mix)  
[ K_pole, K_zero ] = pzmap ( K_tf )  
  
bode(K_mix_ss,omega1);
```

# 開ループ伝達関数

MATLAB program

```
L_ss = P_ss*K_mix_ss;  
bode(L_ss,omega1)  
[ Gm, Pm, Wcg, Wcp ] ...  
    = margin( L_ss )
```

ゲイン余裕 1.69 [dB]

位相余裕 27.0 [deg]

ゲイン交差周波数 58.2 [rad/sec]

位相交差周波数 13.6 [rad/sec]

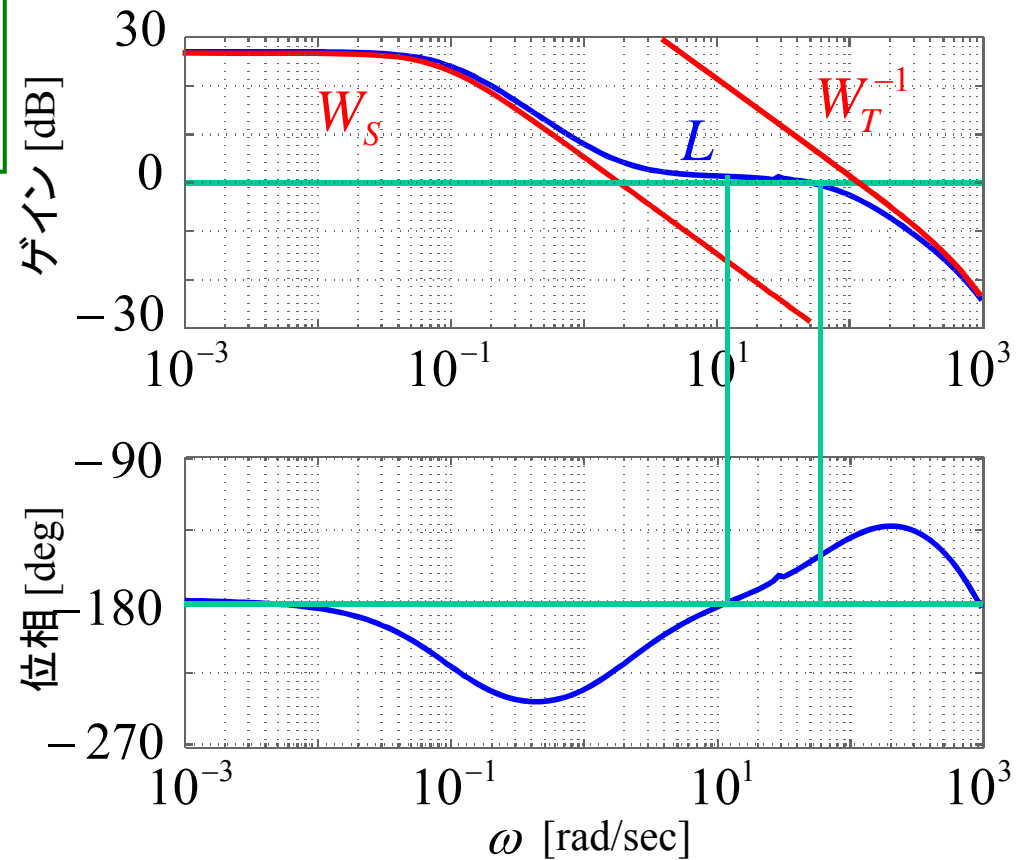


図22 開ループ伝達関数 19

# MATLAB program

```
nyquist ( L_ss )
```

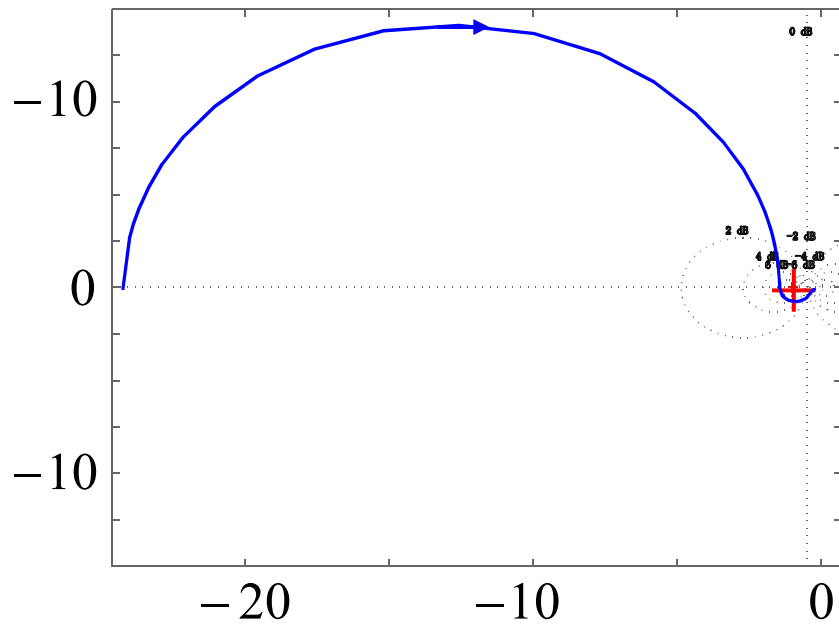


図23 ベクトル軌跡

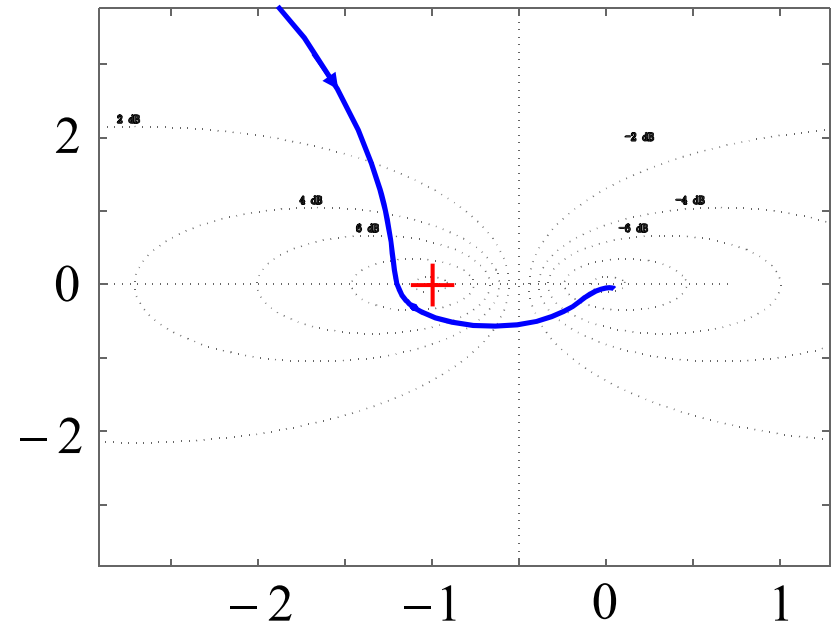


図24 ベクトル軌跡

# 閉ループ系の特性

極  $-6.54 \times 10^{-1} \pm j2.82 \times 10^1$ ,  
 $-6.98 \times 10^{-1} \pm j2.89 \times 10^1$ ,  
 $-1.10 \times 10^1 \pm j1.08 \times 10^1$ ,  
 $-1.80 \times 10^1, -8.44 \times 10^1$ ,  
 $-1.01 \times 10^3, -1.26 \times 10^3$ ,  
 $-4.29 \times 10^3$ ,

## MATLAB program

```
T = feedback(L_ss,1);
close_p = pole ( T )
close_z = zero ( T )
pzmap ( T )
```

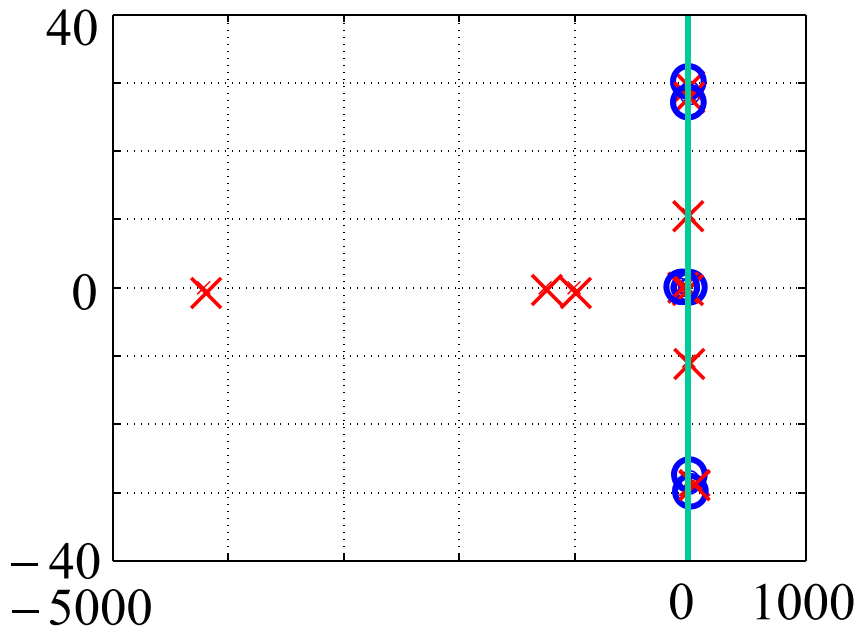


図18 閉ループ系の極・零点

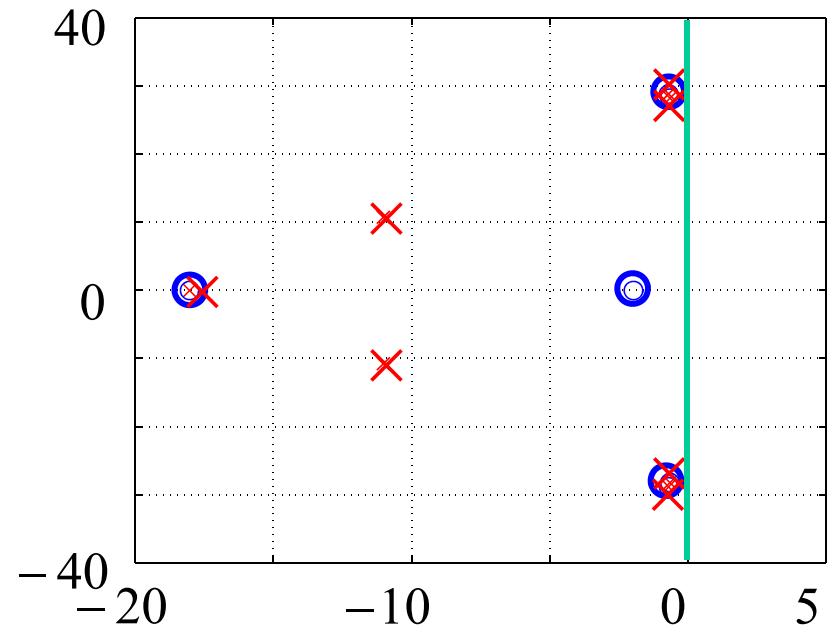


図19 閉ループ系の極・零点(拡大図)<sup>21</sup>

# 閉ループ系の周波数特性

MATLAB program

```
nom_perf_ss = Cloop(1,1);  
rob_stab_ss = Cloop(2,1)  
bodemag(nom_perf_ss,omega1)  
bodemag(rob_stab_ss,omega1)
```

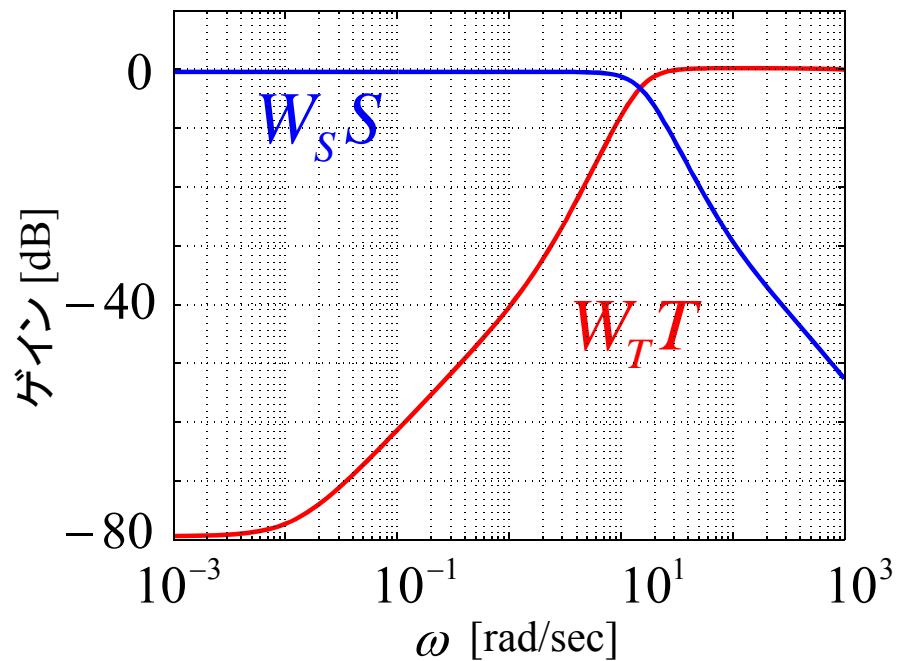


図21 閉ループ系の周波数特性  
 $W_S S, W_T T$

MATLAB program

```
sigma(Cloop,omega1)
```

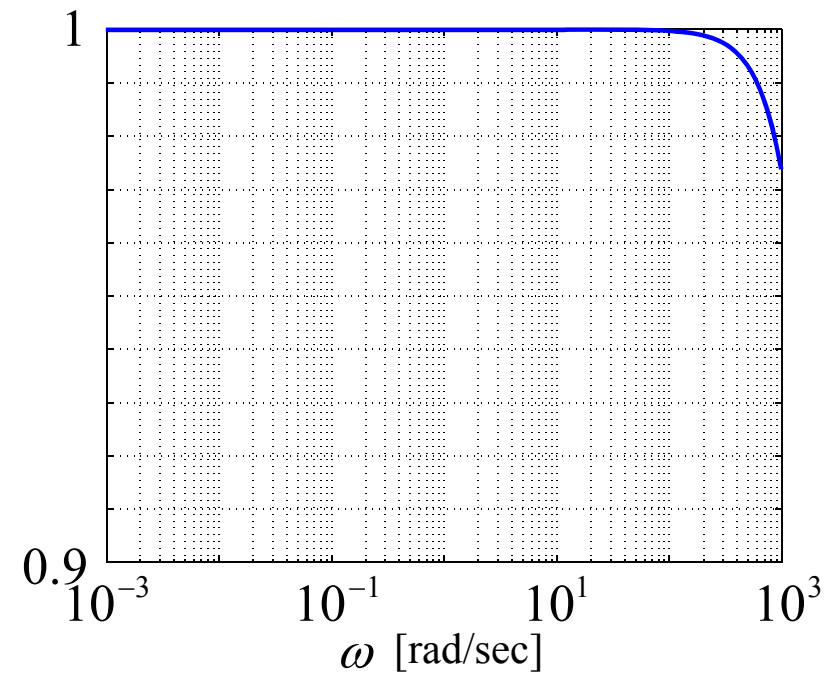


図20 閉ループ系の周波数特性  $\sigma(T_{zw})$

## 感度関数 $S$

MATLAB program

```
S = feedback(1,L_ss);  
bodemag(S,omega2)  
hold on  
bodemag(inv(Ws_tf),omega1)
```

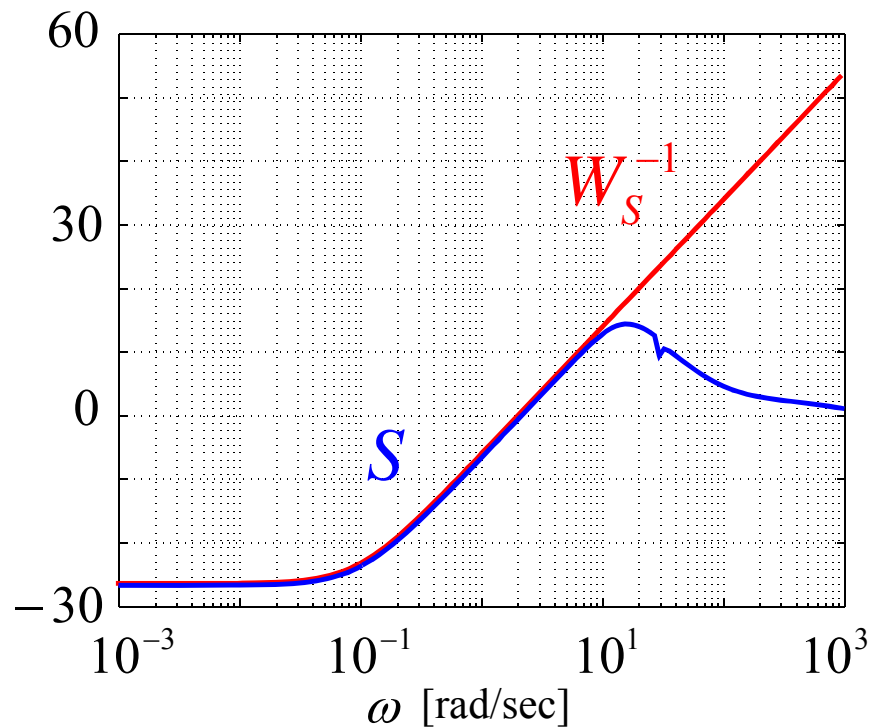


図25 感度関数

## 相補感度関数 $T$

MATLAB program

```
T = feedback(L_ss,1);  
hold on  
bodemag(T,omega2)  
bodemag(inv(Wt))
```

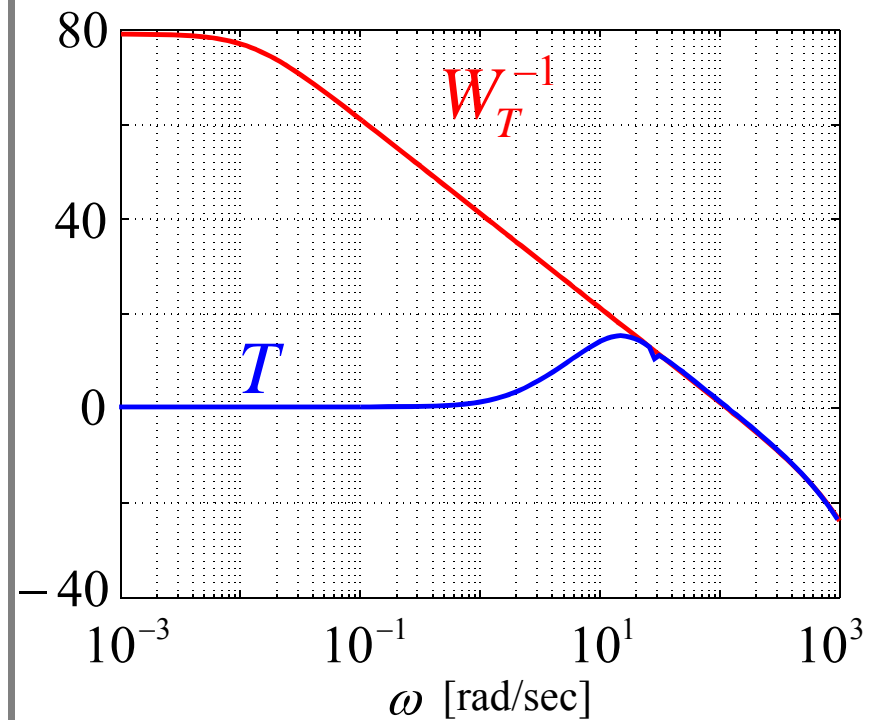
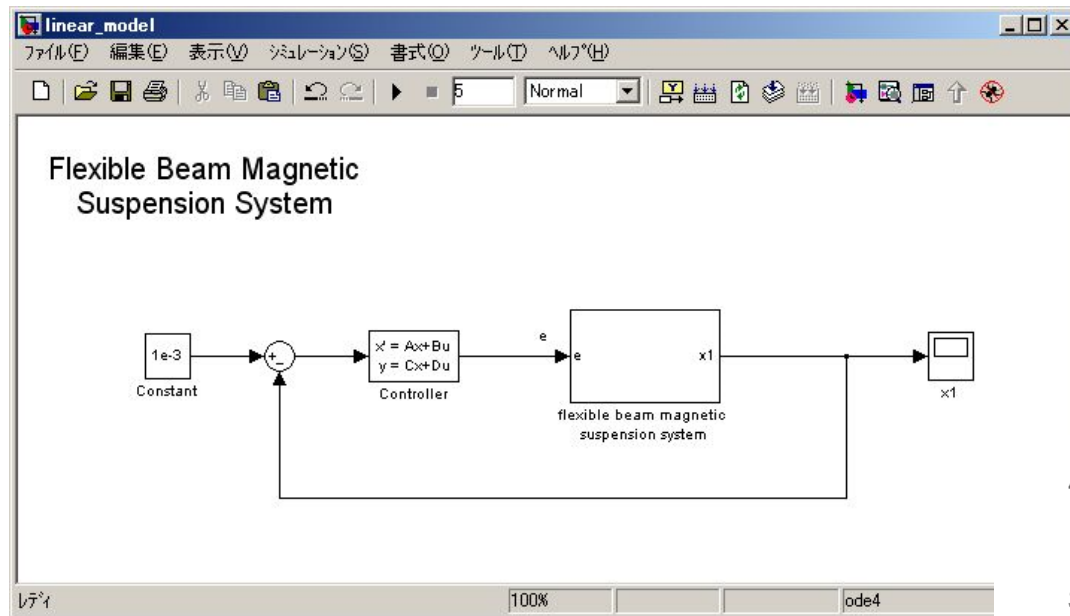


図26 相補感度関数

# ステップ応答

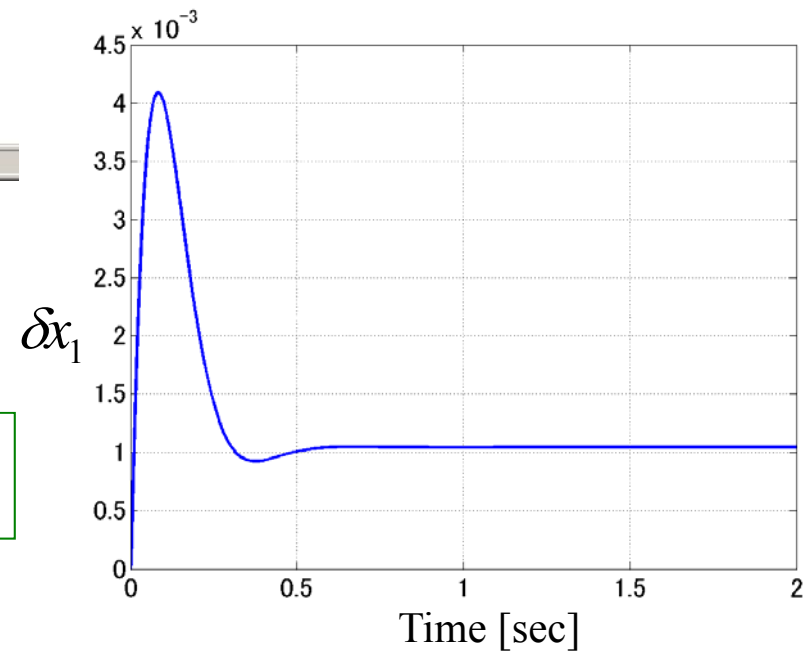
## 線形モデルに対する応答



Linear\_model.mdl

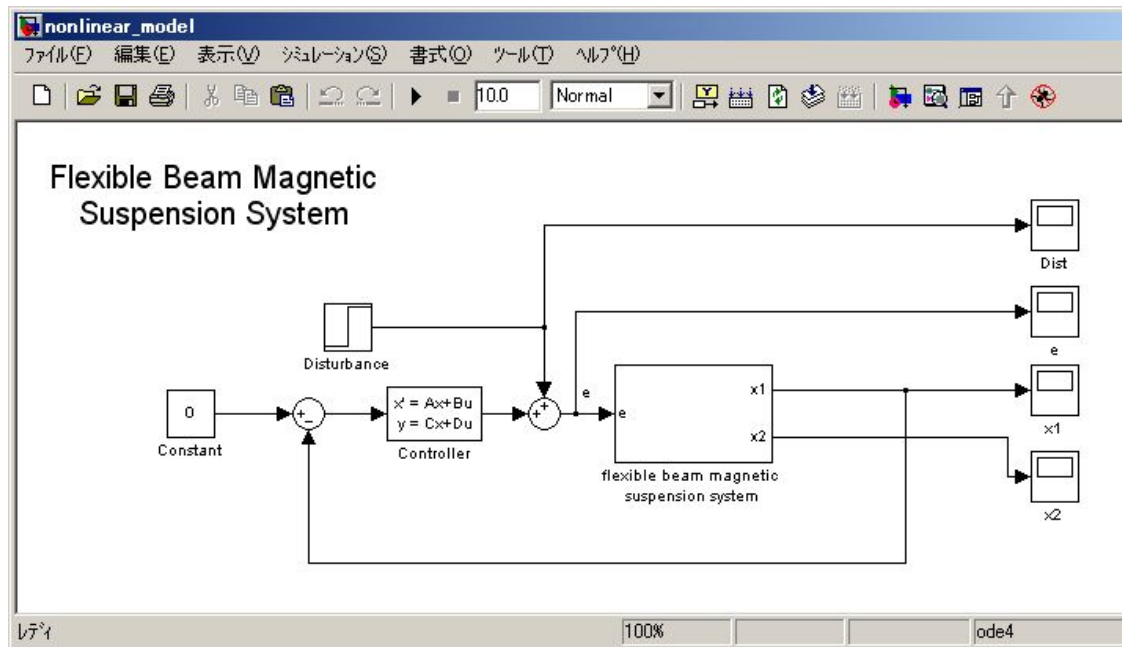
MATLAB program

```
[K_A,K_B,K_C,K_D] = ssdata(K_mix_ss);
```





# シミュレータ応答

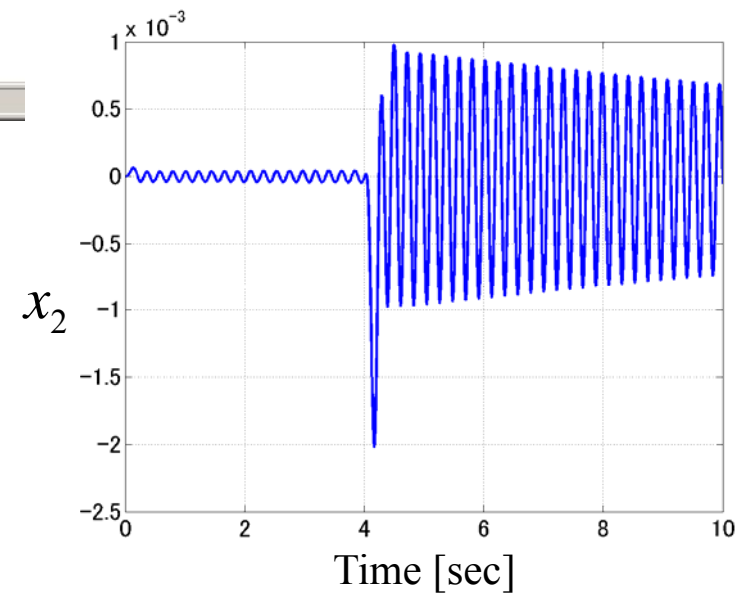
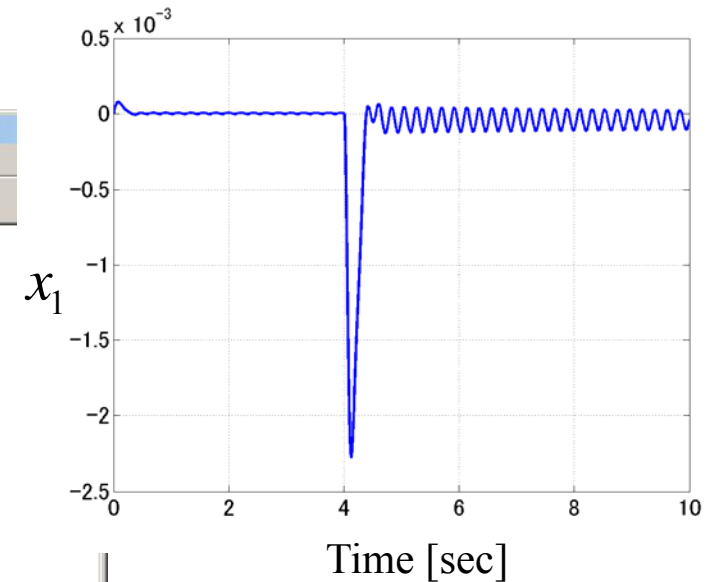


nonlinear\_model.mdl

>> simu\_setup

1. 外乱応答
2. 外乱応答  $m=5.8 \rightarrow 6.95$
3. 外乱応答  $M=10.36 \rightarrow 12.30$
4. 外乱応答  $R=57.0 \rightarrow 61.7$

1 から 4 のいずれかを選ぶ



# 実験結果

## 外乱応答

約 21 [N] に相当する電圧〔 定常吸引力 約 100 [N] 〕

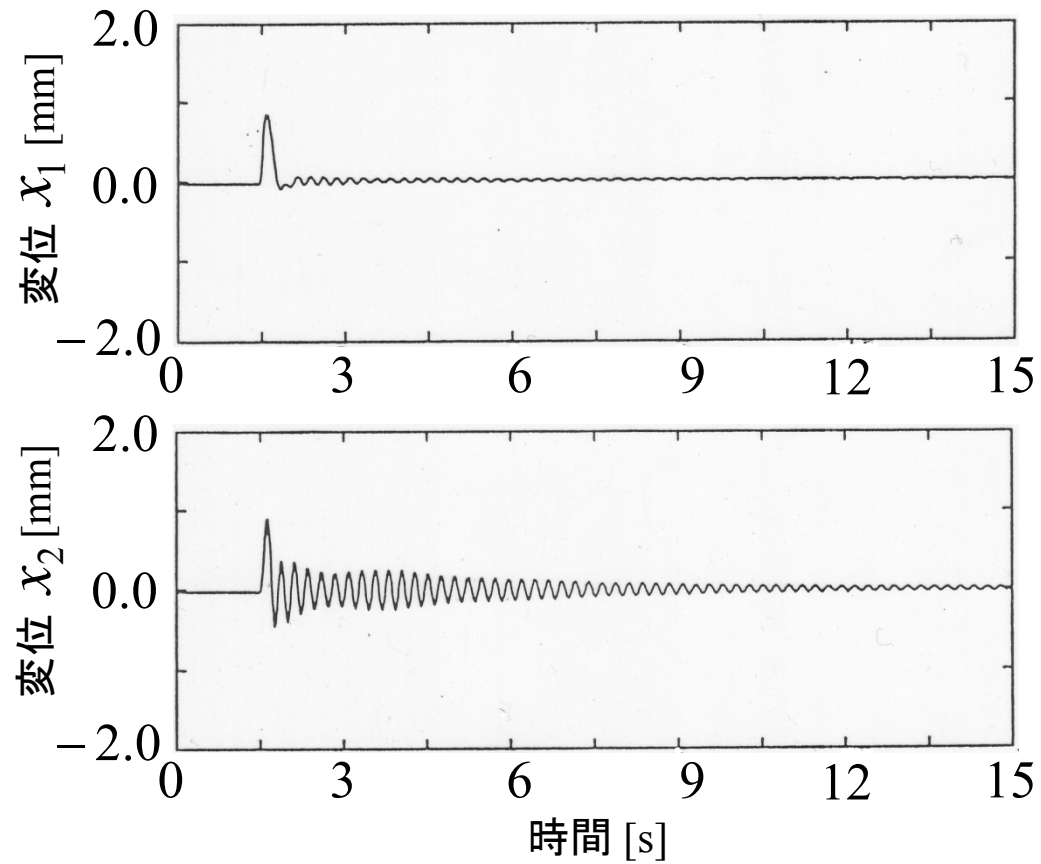


図27 ステップ状外乱に対する時間応答

(1) 電磁石側の質量  $m$  を 5.80 [kg] から 6.95 [kg] にする.

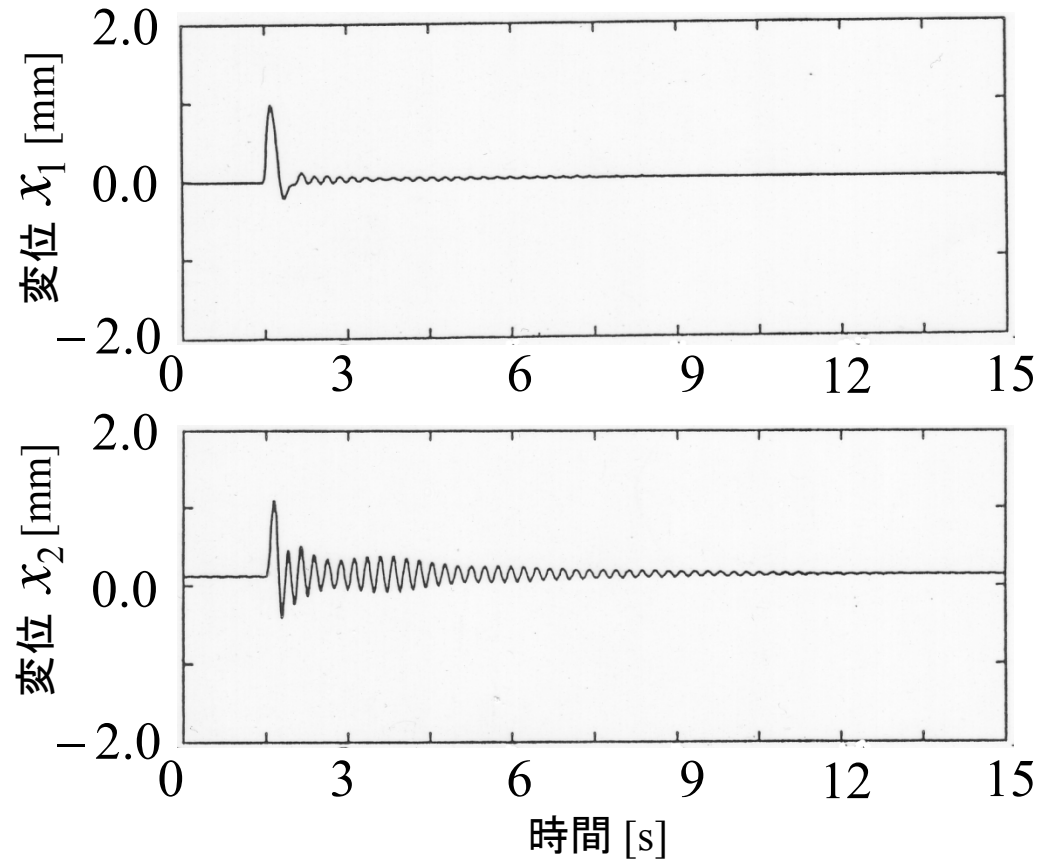


図28 ステップ状外乱に対する時間応答  
 $m = 6.95$  [kg] に変動した場合

(2) ビーム中央部の質量  $M$  を 10.36 [kg] から 12.30 [kg] にする.

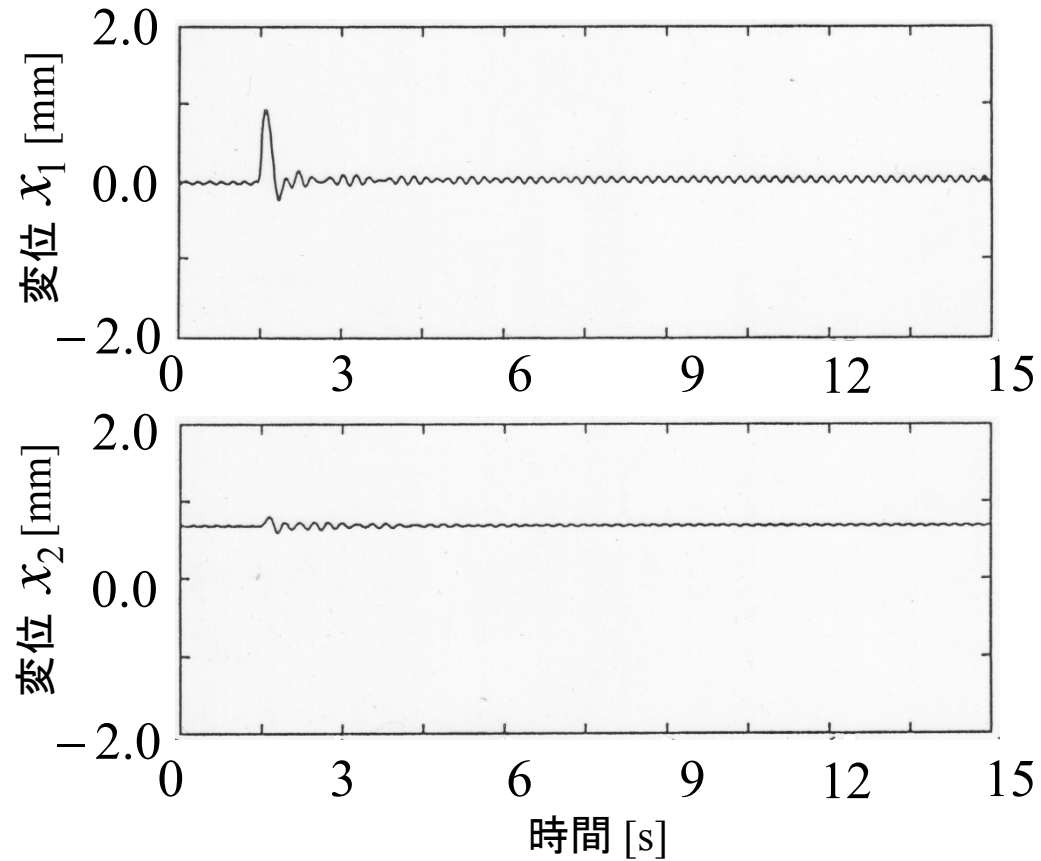


図29 ステップ状外乱に対する時間応答  
 $M = 12.3$  [kg] に変動した場合

(3) 電磁石部の抵抗  $R$  を  $57.0 [\Omega]$  から  $61.7 [\Omega]$  にする.

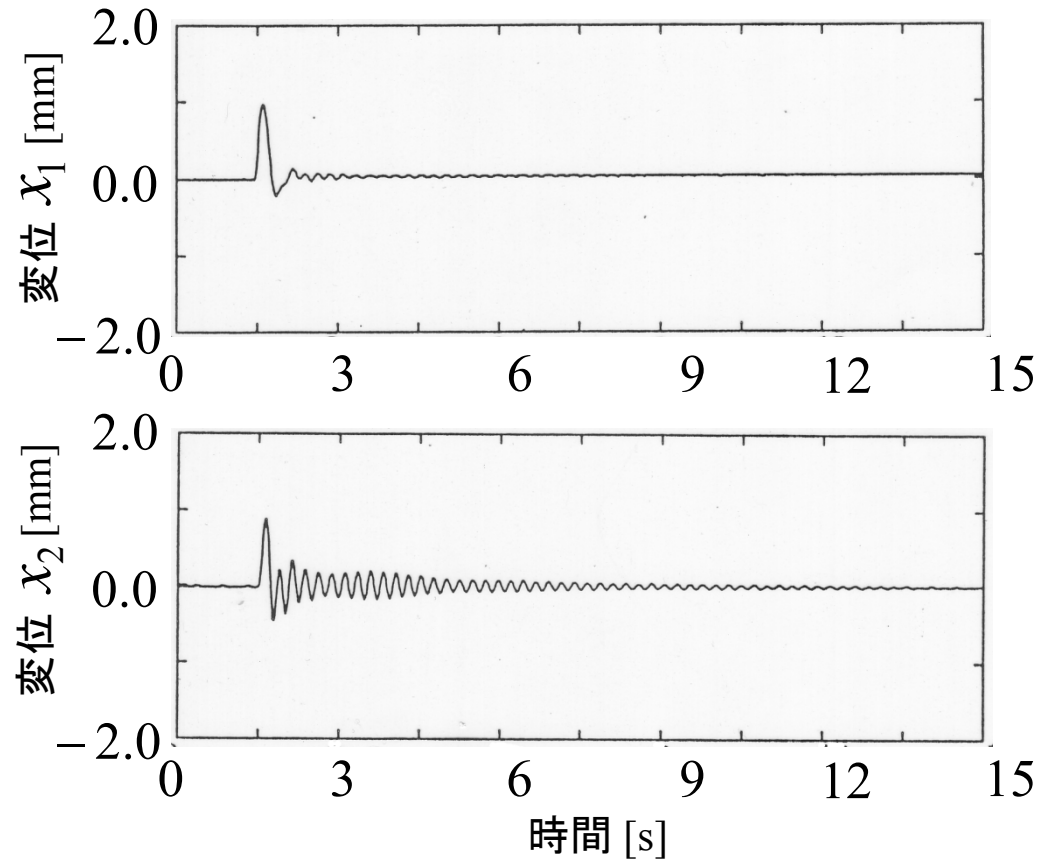


図30 ステップ状外乱に対する時間応答  
 $R = 61.7 [\Omega]$  に変動した場合

# [参考]過去の実験結果

## 積分型LQG制御系

### 外乱応答

約 7.15 [N] に相当する電圧〔 定常吸引力 約 100 [N] 〕

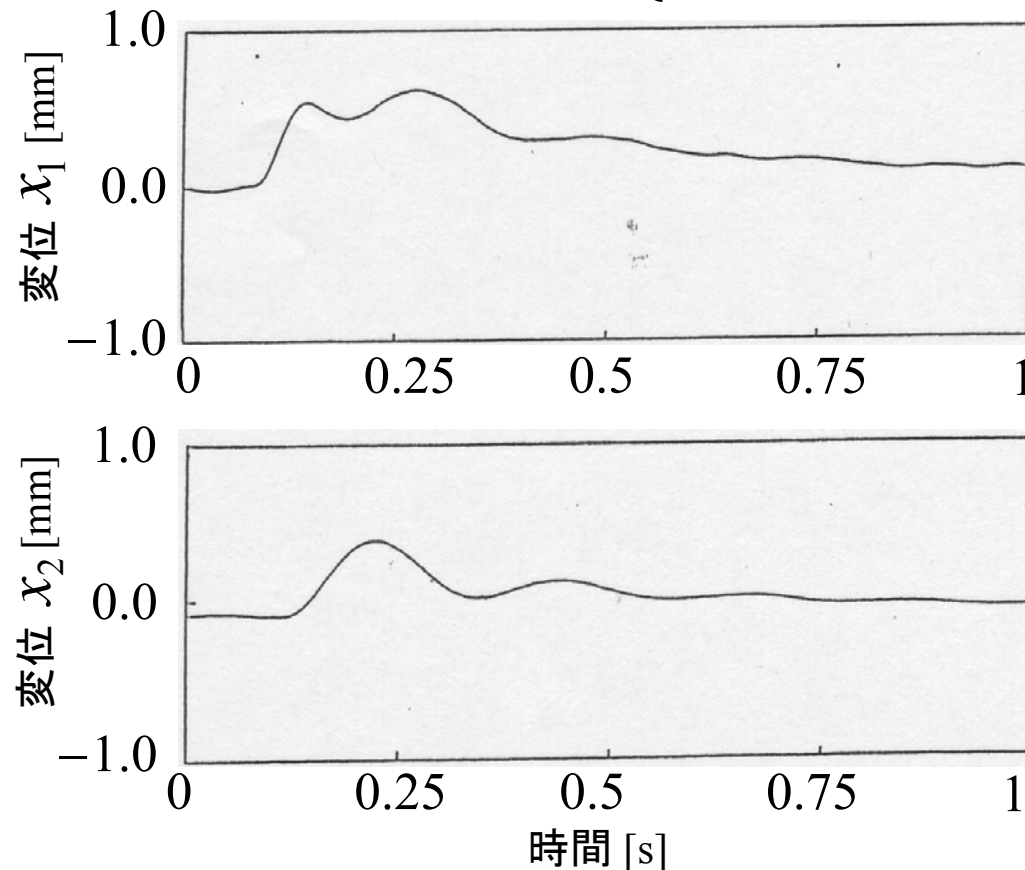


図 ステップ状外乱に対する時間応答

# 閉ループ系の周波数特性

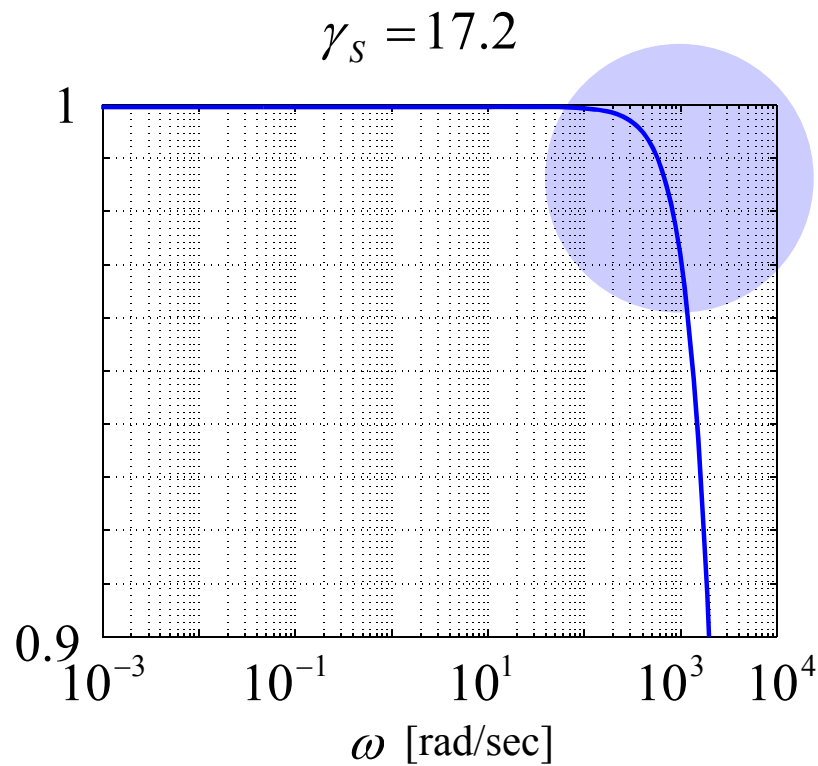


図31 閉ループ系の周波数特性  $\bar{\sigma}(T_{zw})$

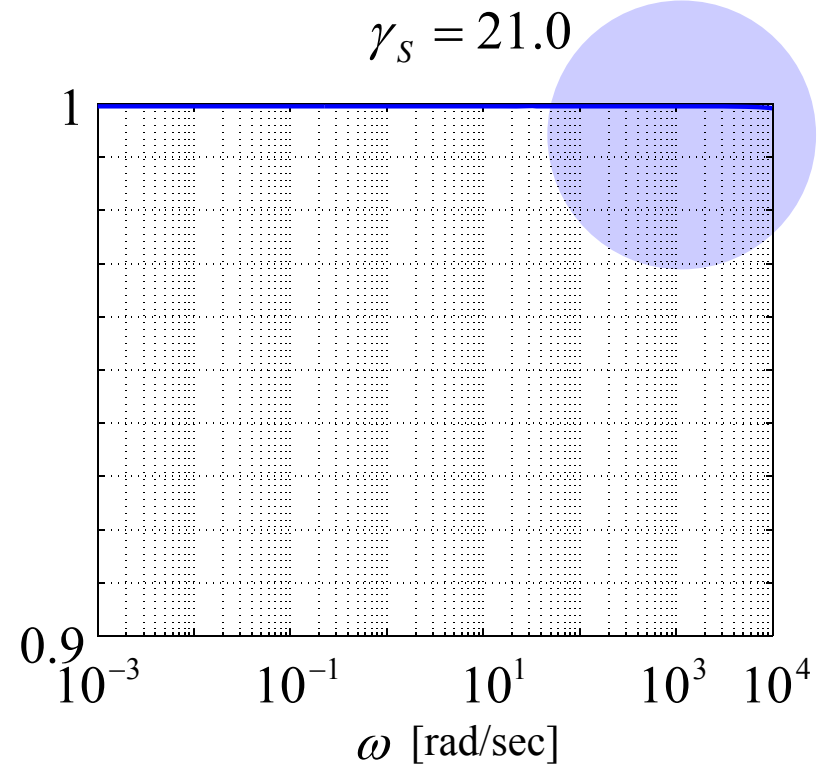


図32 閉ループ系の周波数特性  $\bar{\sigma}(T_{zw})$

# 閉ループ系の周波数特性

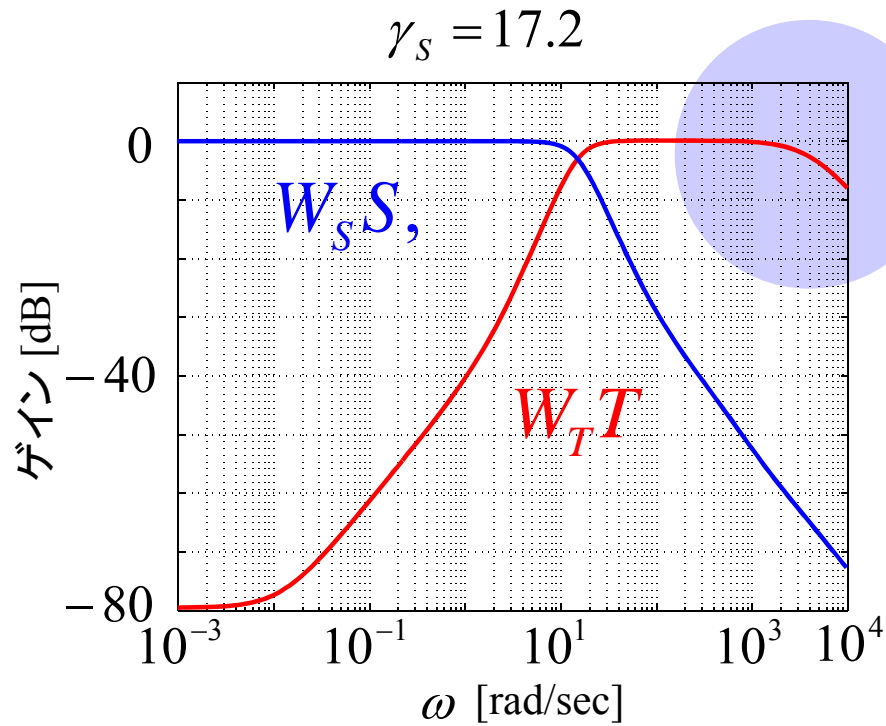


図33 閉ループ系の周波数特性  
 $W_S S, W_T T$

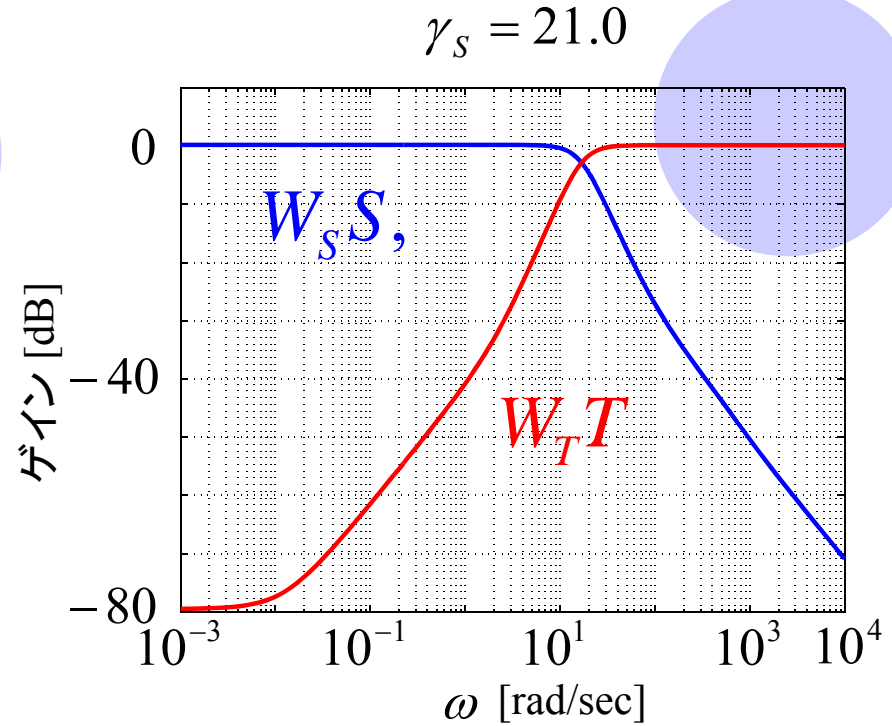


図34 閉ループ系の周波数特性  
 $W_S S, W_T T$



# 感度関数 $S$

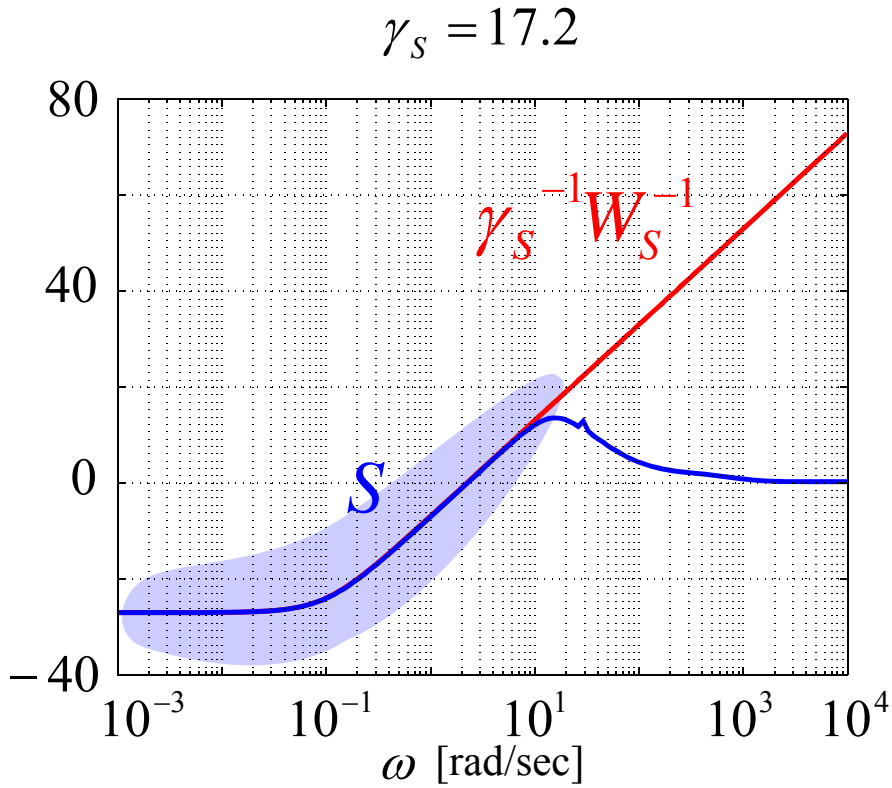


図35 感度関数

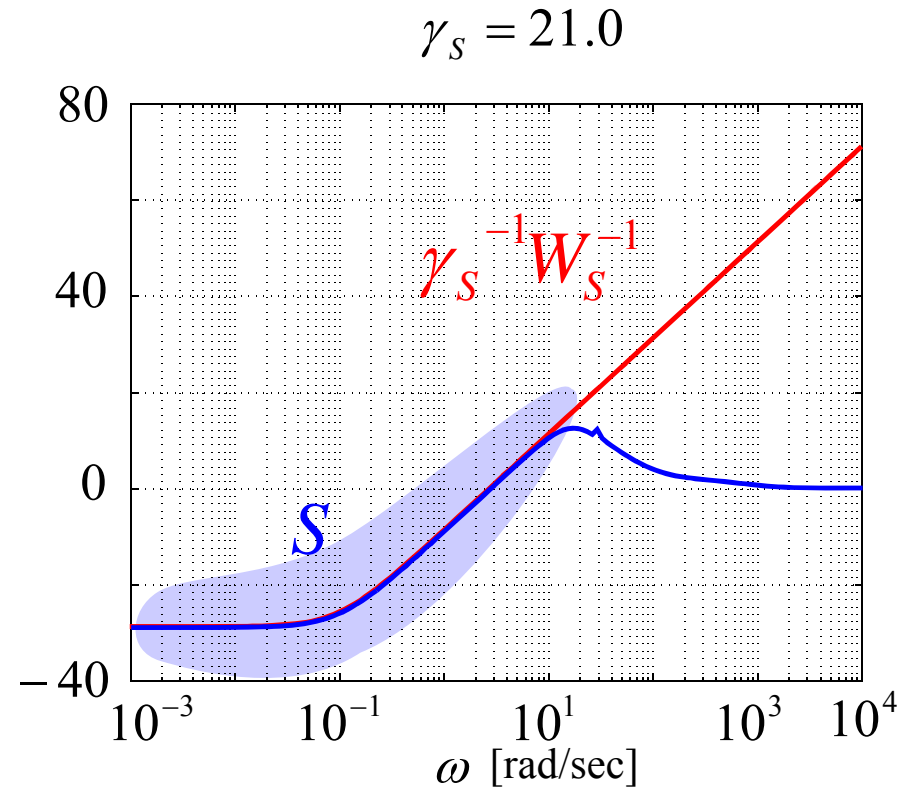


図36 感度関数

# 感度関数 $S$ と相補感度関数 $T$

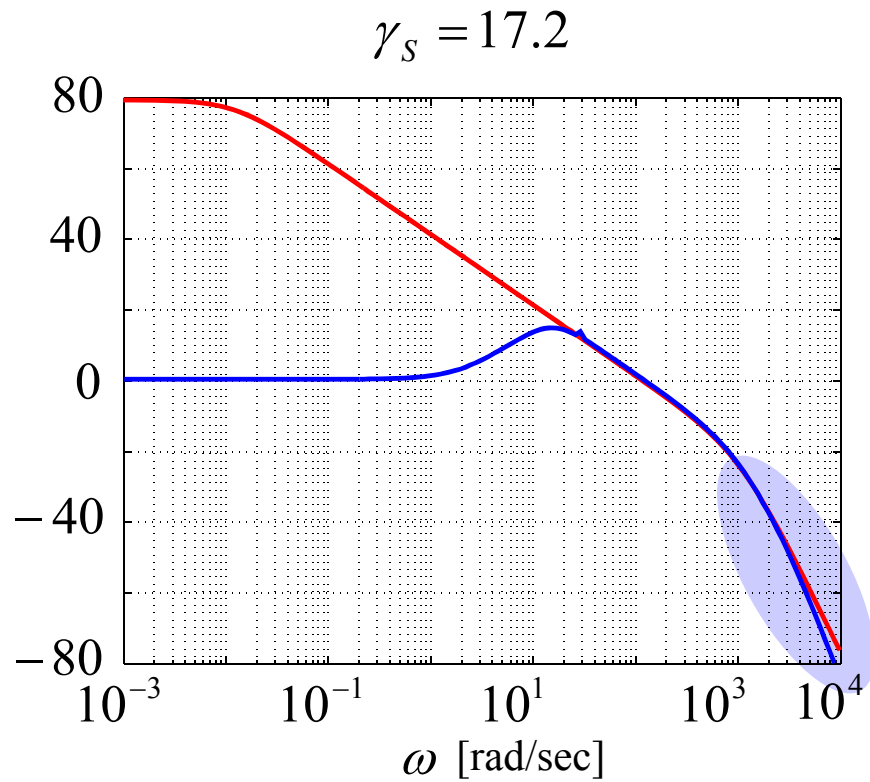


図37 相補感度関数

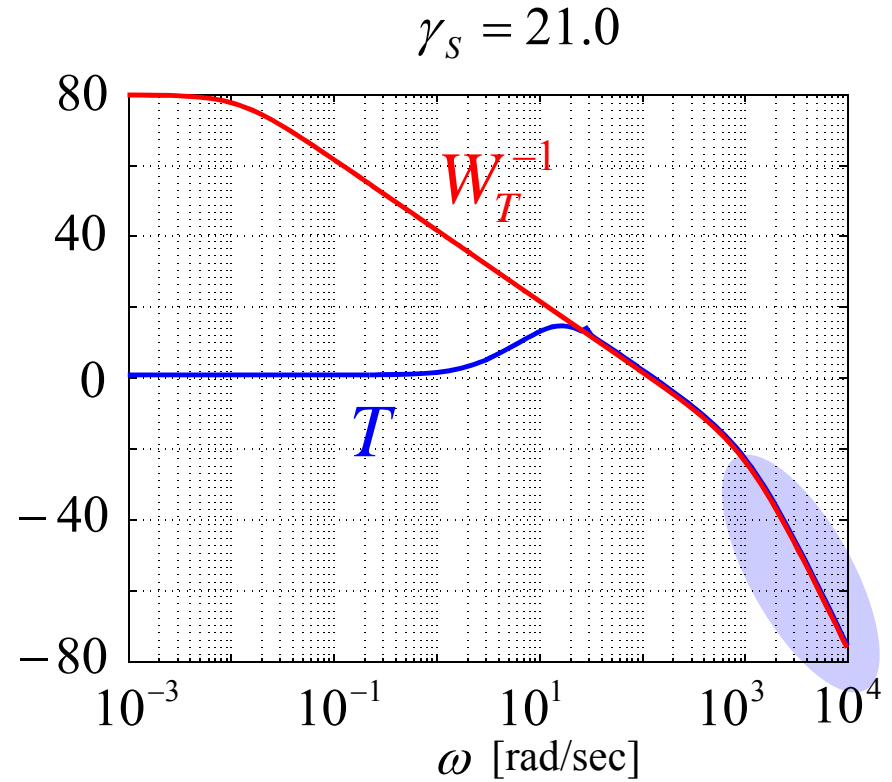


図38 相補感度関数

# 開ループ伝達関数

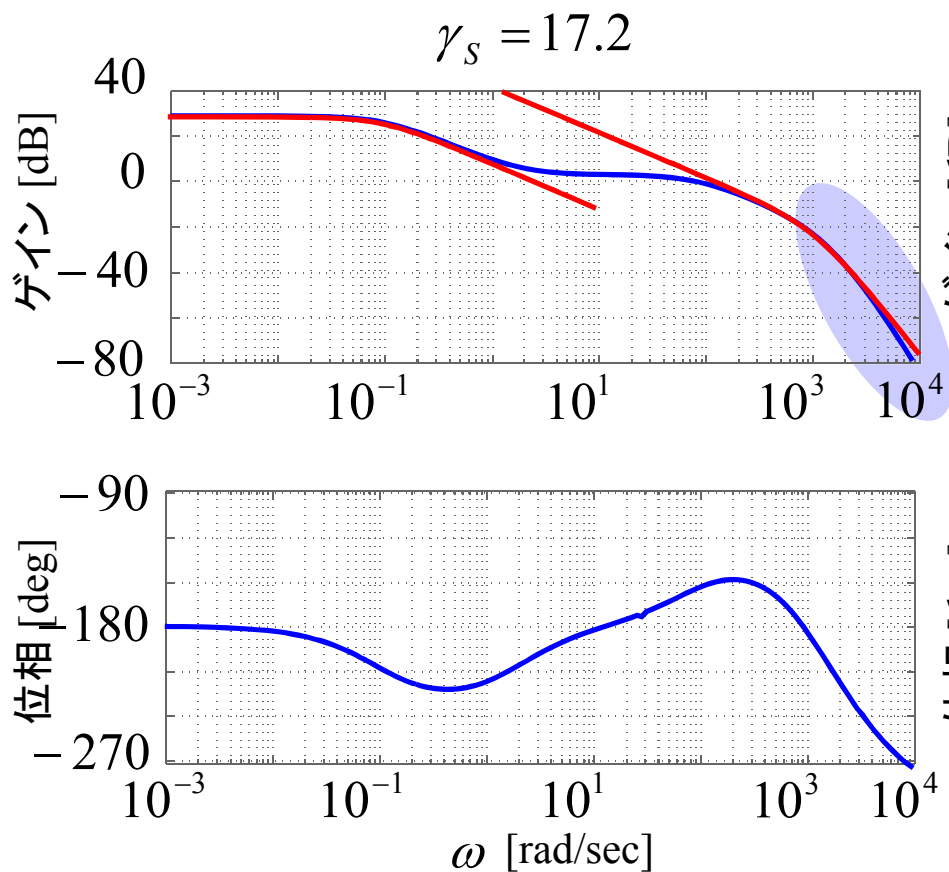


図39 開ループ伝達関数

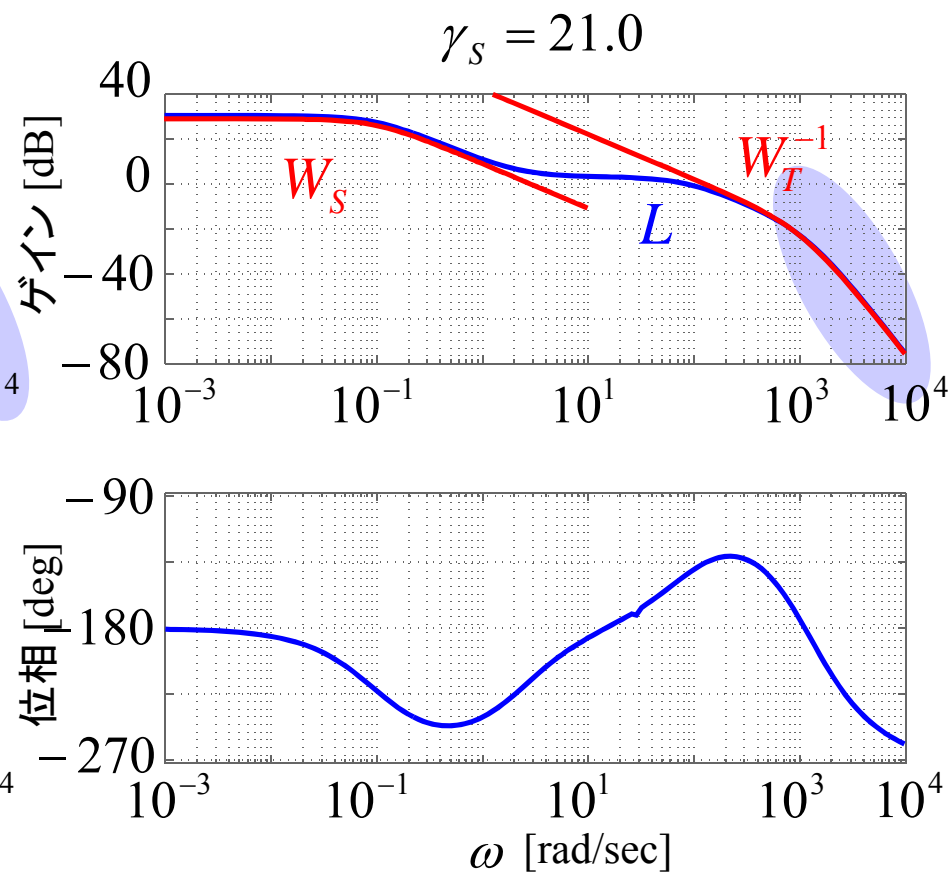


図40 開ループ伝達関数

## 制御対象

$$P(s) = \frac{-13.3(s + 0.654 + j28.2)(s + 0.654 - j28.2)}{(s + 84.4)(s - 84.1)(s + 18.0)(s + 0.697 \pm j28.8)}$$

## コントローラ

$$K(s) = \frac{-5.12 \times 10^{10} (s + 1.972)(s + 18.0)(s + 84.4)(s + 0.699 \pm j28.9)}{(s + 0.10)(s + 4232)(s - 1176 \pm j400)(s + 0.655 \pm j28.2)}$$

## 閉ループ系の極

$$\begin{aligned} & -1.01 \times 10^{-1}, \\ & -6.55 \times 10^{-1} \pm j2.82 \times 10^1, \\ & -6.99 \times 10^{-1} \pm j2.89 \times 10^1, \\ & -1.10 \times 10^1 \pm j1.08 \times 10^1, \\ & -1.80 \times 10^1, -8.44 \times 10^1, \\ & -1.01 \times 10^3, -1.26 \times 10^3, -4.29 \times 10^3, \end{aligned}$$

共振ピークが閉ループ系の極になっている

# 付録

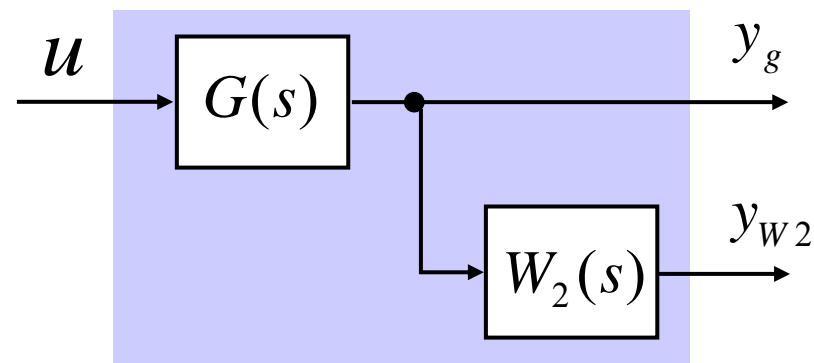
## 周波数重み $W_S(s)$

$$\dot{x}_{WS} = A_{WS}x + B_{WS}u_{WS}$$

$$y_{WS} = C_{WS}x_{WS} + D_{WS}u_{WS}$$

## 周波数重み $W_T(s)$

$$W_T(s) = a_3s^3 + a_2s^2 + a_1s + a_0$$



周波数重み  $W_2(s)$  の合併

周波数重み  $W_T(s)$  は状態空間表現できない

- ➡ 制御対象と周波数重み  $W_T(s)$  を合併
- ➡ 周波数重み  $W_S(s)$  まで含んだ一般化プラント

$D_{12}$  のフルランク条件を満たすように決定. 制御対象の相対次数が3次であるので周波数重み  $W_T(s)$  の分子の次数が分母の次数より3次高ければフルランク条件を満たす.

初期値を 0 として制御対象の状態方程式をラプラス変換

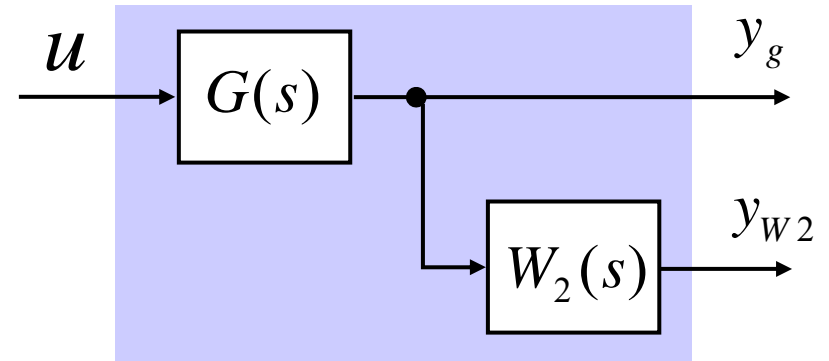
$$sX_g(s) = A_g X_g(s) + B_g U_g(s)$$

$$Y_g(s) = C_g X_g(s)$$

$$Y_{WT} = W_T G U_g = W_T Y_g = W_T C_g X_g$$

$$= (a_3 s^3 + a_2 s^2 + a_1 s + a_0) C_g X_g$$

$$= a_3 C_g s^3 X_g + a_2 C_g s^2 X_g + a_1 C_g s X_g + a_0 C_g X_g$$



周波数重み  $W_2(s)$  の合併

定常状態を考え, 制御入力がほとんど変化しないとする

$$s^2 X_g = s \{ A_g X_g + B_g U_g \} = A_g \{ A_g X_g + B_g U_g \} \quad (\because sU_g(s) = 0)$$

$$= A_g^2 X_g + A_g B_g U_g$$

同様にして

$$s^3 X_g = A_g^3 X_g + A_g^2 B_g U_g$$

$$Y_{WT} = C_{WT} X_g + D_{WT} U_g$$

$$C_{WT} = C_g \{a_3 A_g^3 + a_2 A_g^2 + a_1 A_g + a_0 I\}$$

$$D_{WT} = C_g \{a_3 A_g^2 + a_2 A_g + a_1 I\} B_g$$

制御対象と重み  $W_T(s)$  を含んだ系

$$\dot{x} = A_g x_g + B_g u_g$$

$$\begin{bmatrix} y_g \\ y_{WT} \end{bmatrix} = \begin{bmatrix} C_g \\ C_{WT} \end{bmatrix} x_g + \begin{bmatrix} 0 \\ D_{WT} \end{bmatrix} u_g$$